

Optimization of sodium alginate extraction conditions using a central composite design from the brown seaweed *Sargassum angustifolium*

Norozi A.¹; Shamsaie Mehrgan M.^{1*}; Roomiani L.^{2*}; Rajabi Islami H.¹; Raissy M.³

*m.shamsaie@srbiau.ac.ir; Laleh.roomiani@iau.ac.ir

1-Department of Agriculture Science and Engineering, SR.C., Islamic Azad University, Tehran, Iran

2- Department of Fisheries, Ahv.C., Islamic Azad University, Ahvaz, Iran

3- Department of Aquatic Health, Sha.C., Islamic Azad University, Shahrekord, Iran

Received: March 2025

Accepted: May 2025

Published: July 2025



Copyright: © 2025 by the authors. Licensee MDPI, Basel, Switzerland. This article is an open access article distributed under the terms and conditions of the Creative Commons Attribution (CC BY) license (<https://creativecommons.org/licenses/by/4.0/>).

Introduction

Marine algae, with large size and wide variety of species, are marine ecosystems. They are cultivated both naturally and commercially in the coastal areas of the world. 25,000 tons of algae are produced worldwide each year and its economic value is about 6.5 billion, which appears to reach \$ 1.07 billion by 2028 (Yang *et al.*, 2025). Marine algae are mainly used as food in most Asian countries such as China, Japan, South Korea and North Korea, Indonesia, Philippines, Vietnam and Thailand, and for the first time in Japan in 1670 they were raised (Khan *et al.*, 2024). Due to their high consumption in Asia, brown algae make up 47.3 percent of the world's cultivation level with 16.4 million tonnes (Nam *et al.*, 2024; Radulovich *et al.*, 2015).

Marine macroalgae are a sustainable raw material with antioxidant, antimicrobial, non-condensed, biodegradable and biological properties. The most important polysaccharide in algae cell is alginate (40 % dry weight), laminarin and fokoidan (Faidi *et al.*, 2025). In algae, the percentage of alginate can reach up to 60 % dry weight. Alginates contain sodium, calcium, magnesium, barium and monomeric acid units D-mannuronic (M) and L-guluronic (G). Uronic acids are often organized in the forms of heteropolymer block (MG) or hemopolymer (MM or GG) (Fawzy *et al.*, 2017).

Methodology

From the shallow and lower parts of the tide of the rocky beds of the Persian Gulf and the Oman Sea (Chabahar area), the *S. angustifolium* algae was carried out. The Persian Gulf and Oman Sea Atlas and Algae base platform data were used to confirm the species. The algae were washed with distilled water several times to remove impurities and algae sand. Then in the dry sun, they were powdered with a mill. Then, in polyethylene bags, they were transferred to the laboratory under 10°C (Fig. 1).

Figure 1: *Sargassum angustifolium*

Central Composite Design (CCD) using Response Surface Methodology (RSM) to optimize the process of extraction of sodium alginate in brown algae *S. angustifolium* by considering 3 factors or independent variables temperature (A), time (b) and pH (c) consisting of 19 points and 5 repeats at point the central was used with 19 treatments. In RSM it is selected for each domain variable. The third level as the central level or (0) is minimal and maximum (Table 1).

Table 1: Experiment design levels for independent variables using CCD

Control factors	Surface		
	-1	0	+1
A Temperature (°C)	40	65	90
B Time (h)	1	2.5	4
C pH	8	9	10

Results

The results of the CCD test plan with 19 repetitions are presented in Table 2 to evaluate the optimum parameters of sodium alginate extraction from *S. angustifolium*. As Table 2 shows, the actual and coded values of each factor and 19 experimental points include three repetitions of central points. Independent variables were the study of temperature (A), time (b) and pH (c). The second -degree polynomial equation shows the correlation between the independent variable and the responses. Multiple regression analysis and analysis of variance (ANOVA) were performed on experimental data and two multi -order multi -order equations were created in terms of encoded factors (Table 3). Second -degree equations for alginate efficiency and acidic amount were obtained as follows:

Alginate yield: $14.6029 + 2.0921 A + 1.0935 B + 9.3055 C - 0.41 AB + 1.6825 AC + 0.7995 BC - 1.15968 A^2 + 0.0553247 B^2 + 6.60732 C^2$

Uronic acid content: $14.0044 - 0.8655 A + 0.1275 B + 8.9599 C - 1.247 AB - 1.8205 AC - 0.413 BC - 4.59434 A^2 + 1.19566 B^2 + 4.29266 C^2$

Table 2: CCD design from RSM and the observed responses; Sodium alginate yield and uronic acids (%)

Std	Run	Factor 1		Factor 2		Factor 3		Response 1		Response 2	
		A: Temperature	°C	B: Time	h	C: pH	%	Sodium alginate yield	%	Uronic acid content	%
10	1	90		2.5		9		15.501		8.981	
18	2	65		2.5		9		13.407		17.208	
9	3	40		2.5		9		12.104		10.070	
2	4	90		1		8		12.184		7.167	
11	5	65		1		9		12.778		14.435	
13	6	65		2.5		8		11.652		9.278	
7	7	40		4		10		26.902		27.881	
14	8	65		2.5		10		31.487		27.547	
4	9	90		4		8		10.559		6.489	
3	10	40		4		8		11.183		6.122	
15	11	65		2.5		9		16.318		12.608	
17	12	65		2.5		9		14.277		13.027	
8	13	90		4		10		34.648		18.743	
12	14	65		4		9		17.257		16.196	
1	15	40		1		8		9.528		4.035	
19	16	65		2.5		9		12.825		11.413	
16	17	65		2.5		9		14.75		15.304	
5	18	40		1		10		23.689		25.223	
6	19	90		1		10		31.435		23.296	

Table 3: Analysis of variance (ANOVA) for CCD model of sodium alginate extraction yield and uronic acid content

Source	Sum of Squares	df	Mean Square	F-value	p-value	
Model of yield	1123.64	9	124.85	77.75	< 0.0001	significant
A-Temperature	43.77	1	43.77	27.26	0.0005	
B-Time	11.96	1	11.96	7.45	0.0233	
C-pH	865.92	1	865.92	539.28	< 0.0001	
AB	1.34	1	1.34	0.8375	0.3840	
AC	22.65	1	22.65	14.10	0.0045	
BC	5.11	1	5.11	3.18	0.1080	
A^2	3.67	1	3.67	2.29	0.1646	
B^2	0.0084	1	0.0084	0.0052	0.9440	
C^2	119.29	1	119.29	74.29	< 0.0001	
Residual	14.45	9	1.61			
Lack of Fit	7.20	5	1.44	0.7952	0.6046	not significant
Pure Error	7.25	4	1.81			
Cor Total	1138.09	18				
Model of uronic content	934.89	9	103.88	36.12	< 0.0001	significant
A-Temperature	7.49	1	7.49	2.60	0.1410	
B-Time	0.1626	1	0.1626	0.0565	0.8174	
C-pH	802.80	1	802.80	279.16	< 0.0001	
AB	12.44	1	12.44	4.33	0.0673	
AC	26.51	1	26.51	9.22	0.0141	
BC	1.36	1	1.36	0.4745	0.5083	
A^2	57.68	1	57.68	20.06	0.0015	
B^2	3.91	1	3.91	1.36	0.2738	
C^2	50.35	1	50.35	17.51	0.0024	

Source	Sum of Squares	df	Mean Square	F-value	p-value
Residual	25.88	9	2.88		
Lack of Fit	4.35	5	0.8703	0.1617	0.9643
Pure Error	21.53	4	5.38		not significant
Cor Total	960.77	18			

Discussion and conclusion

Optimizing the process conditions to achieve maximum efficiency and uronic acid amount can be obtained by analyzing multiplication using utility function. Under the experimental conditions, the projected extraction efficiency of sodium alginates was 33.54 % and 0.956, respectively. High desirability ($0 \leq d \leq 1$) indicates better accuracy of independent variables in optimization. Both responses were empirically approved under optimal parameters, indicating that the model is sufficient to predict these responses and are comparable with other researchers: *Sargassum natans* 23 %, *Sargassum vulgare* 17 %, *Padina gymnospora* 16 %, *Padina antillarum* 22 %, *Laminaria digitata* 29 %, *Macrocystis pyrifera* 26 % (Rhein-Knudsen *et al.*, 2017), *Sargassum vulgare* 40 % (Sari-chmaysme *et al.*, 2016), 19% *Sargassum natans* (Mohammed *et al.*, 2018). Kanagesan *et al.* (2022) gained the efficiency of 13.55 % alginate by alkaline with 3 % carbonate extraction. Changes in alginate extraction efficiency among various studies, including the current study, may be due to differences in sargassum species, growth conditions, or extraction conditions (Khan *et al.*, 2024). The efficiency of the extracted alginate is different among the brown marine algae, as these algae have physiological and metabolic processes that allow it to produce different metabolites. The concentration of nutrients in the environment directly affects the amount of polysaccharide in different metabolites. The production of polysaccharides is influenced by several factors such as species, age, sampling time and extraction method (El-Sheekh *et al.*, 2024).

Conflict of interest

The authors declare no conflict of interest.

Acknowledgment

The authors would like to thank the Islamic Azad University, Ahvaz Branch for arranging the experimental samples.

مقاله علمی - پژوهشی:

بهینه‌سازی استخراج آلزینات‌سدیم با استفاده از طرح مرکب مرکزی (CCD)^۱ از جلبک دریایی قهوه‌ای *Sargassum angustifolium*

اکبر نوروزی^۱، مهدی شمسایی مهرجان^{*}^۱، لاله رومیانی^{۲*}^۲، هومن رجبی اسلامی^۱، مهدی رئیسی^۳

*m.shamsaie@srbiau.ac.ir; Laleh.roomiani@iau.ac.ir

۱- گروه دانشی، علوم و مهندسی کشاورزی، واحد علوم و تحقیقات، دانشگاه آزاد اسلامی، تهران، ایران

۲- گروه شیلات، واحد اهواز، دانشگاه آزاد اسلامی، اهواز، ایران

۳- گروه بهداشت و بیماری‌های آبزیان، واحد شهرکرد، دانشگاه آزاد اسلامی، شهرکرد، ایران

تاریخ چاپ: ۱۴۰۴

تاریخ پذیرش: اردیبهشت ۱۴۰۴

تاریخ دریافت: اسفند ۱۴۰۳

چکیده

جلبک‌های دریایی قهوه‌ای منبع ارزشمندی از بیوپلیمرهای مختلف هستند که آلزینات به عنوان یک فیکوکلولئید از اهمیت صنعتی بالایی برخوردار است. این تحقیق به منظور بهینه‌سازی استخراج آلزینات‌سدیم از جلبک دریایی قهوه‌ای *Sargassum angustifolium* با استفاده از طرح مرکب مرکزی (CCD) روش سطح پاسخ (RSM)^۲ با در نظر گرفتن متغیرهای مستقل زمان، دما و pH انجام شد. بازده استخراج آلزینات‌سدیم و میزان اسیدیوروونیک پاسخ‌های مدل بودند. نتایج نشان داد که شرایط بهینه ۴ ساعت، ۹۰ درجه سانتی‌گراد و pH ۱۰ منجر به ۳۴/۶۴ درصد بازده آلزینات‌سدیم شد درحالی که شرایط بهینه برای بیشترین میزان اسیدیوروونیک با ۲۷/۱۲ درصد در pH ۱۰، زمان ۴ ساعت و دمای ۴۰ درجه سانتی‌گراد به دست آمد. نتایج نشان داد که pH دارای بیشترین تاثیر در بین سایر متغیرهای مستقل بر پاسخ‌ها بود و به دنبال آن دما و زمان قرار داشتند. نتایج نشان داد که مدل درجه دوم قادر است، بازده آلزینات‌سدیم و میزان اسیدیوروونیک را با R^2_{Adj} و R^2_{Pre} به ترتیب با مقادیر ۰/۹۷۵، ۰/۹۷۴۶، ۰/۹۸۷۳، ۰/۹۷۴۴، ۰/۹۴۸۹، ۰/۹۲۳، ۰/۹۲۲۳ پیش‌بینی کند. افزایش pH منجر به آلزینات‌های با رنگ روشن‌تر شد. نتایج این مطالعه نشان داد، استخراج آلزینات‌سدیم با استفاده از طرح مرکب مرکزی برای بهینه‌سازی آن و بهبود شرایط استخراج، رضایت‌بخش بود.

لغات کلیدی: آلزینات‌سدیم، اسیدیوروونیک، جلبک، *Sargassum angustifolium*

*نویسنده مسئول



Copyright: © 2025 by the authors. Licensee MDPI, Basel, Switzerland. This article is an open access article distributed under the terms and conditions of the Creative Commons Attribution (CC BY) license (<https://creativecommons.org/licenses/by/4.0/>).

¹ Central Composite Design (CCD)

² Response Surface Methodology (RSM)

مقدمه

می‌کنند، دارای عوارض جانبی قابل توجهی هستند. میزان و فعالیت آلزینات ارتباط مستقیمی با روش و بازده استخراج دارد. این موضوع به دلیل نحوه سازماندهی انواع آسیداورونیک در آلزینات مرتبط است. شرایط استخراج آلزینات بر خصوصیات رئولوژیک آن تاثیر بسیار زیادی می‌گذارد. استخراج قلیایی یکی از مهم‌ترین روش‌ها برای بهبود بالقوه عملکرد و خواص فیزیکوشیمیایی آلزینات است (Liu et al., 2019).

تاکنون مطالعه‌ای در ایران بر بهینه‌سازی استخراج آلزینات از جلبک *S. angustifolium* انجام نشده است، اما در سایر نقاط جهان محققان مطالعاتی بر سایر گونه‌های این جنس انجام داده‌اند که می‌توان به مطالعه Kolahdoozan و همکاران (۲۰۲۴) بر استخراج اسیدآلزینیک از *S. angustifolium* با استفاده از شرایط مختلف استخراج اشاره کرد که آنها نتیجه گرفته‌اند که دمای ۶۵ درجه سانتی‌گراد بیشترین تاثیر را بر استخراج دارد. استخراج آلزینات‌سدیم از جلبک قهقهه‌ای *Padina pavonica* در مطالعه Faidi و همکاران (۲۰۲۵) که نتیجه گرفته‌اند، pH بیشترین تاثیر را در استخراج آلزینات دارد. Queiroz و همکاران (۲۰۲۴) بهینه‌سازی استخراج آلزینات از *Dictyota mertensii* را بررسی کردند و نتیجه گرفته‌اند که با افزایش دما و زمان، بازده استخراج آلزینات کاهش می‌یابد. استخراج آسیدآلزینیک به شیوه اولتراسوند از جلبک *S. angustifolium* انجام گردید و نشان داده شد که توان اولتراسوند دارای بیشترین تاثیر در فرایند استخراج بود (Mousavi et al., 2023).

با توجه به موارد مذکور و اهمیت شرایط استخراج آلزینات‌سدیم بر بازده آن و نوآوری مطالعه به دلیل استخراج آلزینات‌سدیم و اسیدیورونیک جلبک مورد مطالعه، هدف از مطالعه حاضر، تعیین اثرات موثر بر روش استخراج قلیایی از جمله دما، زمان و pH بر بازده استخراج آلزینات‌سدیم و میزان اسیدیورونیک از جلبک قهقهه‌ای (*S. angustifolium*) (Nguyen et al., 2021) بود تا بتوان با تیمارهای کمتر، سبب کاهش وقت و هزینه استخراج شد.

جلبک‌های دریایی، با اندازه بزرگ و تنوع گونه‌ای بسیار گسترده، اکوسیستم‌های آبهای دریایی هستند. آنها به صورت طبیعی و تجاری در مناطق ساحلی دنیا کشت می‌شوند. هر ساله ۲۵ هزار تن جلبک‌دریایی در سراسر جهان تولید می‌شود و ارزش اقتصادی آن حدود ۶/۵ میلیارد است که به نظر می‌رسد تا سال ۲۰۲۸ به ۱۰/۷ بیلیارد دلار برسد (Yang et al., 2025). جلبک دریایی عمده‌ای به عنوان غذا در اکثر کشورهای آسیایی (چین، ژاپن، کره‌جنوبی و شمالی، اندونزی، فیلیپین، ویتنام و تایلند)، استفاده می‌شود و برای اولین بار در ژاپن در سال ۱۶۷۰ پرورش یافت (Khan et al., 2024). جلبک‌های قهقهه‌ای به دلیل مصرف زیاد در آسیا، ۴۷/۳ درصد از سطح زیرکشت جهان را با ۱۶/۴ میلیون تن تشکیل می‌دهند (Nam et al., 2024; Sugiura et al., 2025).

ماکروجلبک‌های دریایی به عنوان یک ماده خام پایدار با ویژگی‌های آنتی‌اسیدانی، ضدیکروبی، غیررسمی، زیست‌تخریب‌پذیر و زیست‌سازگار هستند. مهم‌ترین پلی‌ساقارید در دیواره سلولی جلبک‌های قهقهه‌ای آلزینات (۴۰ درصد وزن خشک)، لامینارین و فوکوئیدان است (Faidi et al., 2025). در جلبک‌ها درصد آلزینات می‌تواند تا ۶۰ درصد وزن خشک برسد. آلزینات حاوی یون‌های سدیم، کلسیم، منیزیم، باریم و واحدهای مونومریک اسیداورونیک (M) D-mannuronic (G) و L-guluronic (G) هستند. اسیدهای اورونیک اغلب به شکل‌های بلوك هتروپلیمری (MG) یا هموپلیمری (MM) یا GG سازماندهی می‌شوند (Fawzy et al., 2017).

کاربرد آلزینات در بسته‌بندی موادغذایی به صورت تثبیت‌کننده، تغليظ‌کننده و ژل‌کننده برای تهیه پوشش‌های محصولات رژیمی و فیلم‌های خوراکی است. آلزینات دارای فعالیت‌های زیستی متعددی از جمله، آنتی‌اسیدان، ضدقارچ، محافظت‌کننده عصبی، ضدرسلطان و تحریک‌کننده یمنی (El-Sheekh et al., 2023)، است. محققان علاقه‌مند به استفاده از آنتی‌اسیدان‌هایی مانند آلزینات هستند، زیرا بسیاری از مواد مصنوعی که به عنوان مهارکننده رادیکال‌های آزاد عمل

به محلول پس از شستشو اضافه و تحت دمای ۱۰۰ درجه سانتی گراد به صورت حمام آب گرم (۲/۵ ساعت) قرار گرفت. ماده باقیمانده به مدت ۱، ۲/۵ و ۴ ساعت در آون با دمای ۴۰، ۶۵ و ۹۰ درجه سانتی گراد قرار داده شد. پس از شستشو، باقیمانده مجدداً در مخلوط ۲۰۰ میلی لیتری ۱ مولار کربنات سدیم و ۰/۵ گرم اسیداتیلن دی آمین تراستیک به مدت دو شباهنگ روز معلق شد. pH با استفاده از محلول بافر اسید کلریدریک (نمایلیته ۱) و کلرید پتاسیم (نمایلیته ۱) در حدود ۸، ۹ و ۱۰ تنظیم شد. محلول مجدداً فیلتر شد و با ۲۰۰ میلی لیتر اتانول به مدت ۱۵ دقیقه هم زده شد. رسوب در محلول اتانول به صورت نمک سدیم ظاهر شد که صاف شده و باقیمانده ۳/۴۶ وزن و با ۳۰ میلی لیتر استون به مدت ۳۰ دقیقه دو بار شستشو داده شد. پس از استخراج، عصاره خام پلی ساکارید جلبک به مدت زمان ۱۰ دقیقه با دور g ۴۵۰۰×، سانتریفیوژ و مایع رویی با اتانول ۹۰ درصد به مدت ۲۴ ساعت در دمای ۴ درجه سانتی گراد رسوب گردید. پس از سانتریفیوژ دوباره با دور g ۵۰۰۰× به مدت ۱۵ دقیقه، ماده باقیمانده در آون با دمای ۴۵ درجه سانتی گراد به مدت ۴۸ ساعت خشک شد و بازده استخراج از طریق فرمول ذیل به دست آمد:

$$\frac{\text{وزن آرینات}}{\text{وزن زیست توه خشک شده جلبک}} \times 100 = \text{بازده استخراج (درصد)} (\text{رابطه ۱})$$

طرح آزمایش‌ها

طرح مرکب مرکزی (CCD) با استفاده از روش سطح پاسخ (RSM) برای بهینه‌سازی فرایند استخراج آرینات سدیم موجود در جلبک قهوه‌ای *S. angustifolium* با در نظر گرفتن ۳ عامل یا متغیرهای مستقل دما (A)، زمان (B) و pH (C) (جدول ۱) متشکل از ۱۹ نقطه و ۵ تکرار در نقطه مرکزی با ۱۹ تیمار استفاده شد.

جدول ۱: سطوح طرح آزمایش برای متغیرهای مستقل با استفاده از CCD

Table 1: Experiment design levels for independent variables using CCD

Control factors	Surface		
	-1	0	+1
A Temperature (°C)	40	65	90
B Time (h)	1	2.5	4
C pH	8	9	10

مواد و روش کار

جمع‌آوری جلبک

از قسمت‌های کم‌عمق و پایین بین جزر و مدي بسترهاي صخره‌اي سواحل خلیج‌فارس و دریای عمان (منطقه چابهار) جمع‌آوری جلبک *S. angustifolium* انجام شد. جهت تایید گونه از اطلس جلبک‌های دریایی خلیج‌فارس و دریای عمان و Guiry *et al.*, 2021 استفاده گردید (). برای حذف ذرات ناخالصی و ماسه‌های چسبیده به جلبک، جلبک‌ها چندین بار با آب مقطر شستشو داده شدند. سپس در آفتاب خشک و با آسیاب به صورت پودر درآمدند. سپس در کيسه‌های پلی‌اتیلن در شرایط دمایی زیر ۱۰ درجه سانتی گراد به آزمایشگاه منتقل شدند.

استخراج آرینات سدیم

استخراج آرینات سدیم با استفاده از روش Khan و همکاران (۲۰۲۴) با اندکی تغییرات انجام شد. ۱۲ گرم جلبک تازه شسته و خشک شده با ۲۵۰ میلی لیتر کلرید کلسیم (۲ درصد) به مدت ۲ ساعت در دمای اتاق معلق شدند. پس از شستشو، ۱۶ میلی لیتر فرمالدئید (۳۷ درصد) به آن اضافه و به مدت ۲ ساعت معلق ماند. سپس سه بار با آب یونیزه شسته و فیلتر شد. ۲۰۰ میلی لیتر کربنات سدیم (۳ درصد)

میزان اسیدیورونیک با استفاده از اسید گلوکورونیک به عنوان استاندارد، طبق روش Muir Bitter (۱۹۶۲) انجام شد. ۰/۵۰ گرم سدیم تترابورات با واکنش گر سدیم تترابورات ۰/۰۲۵ مولار در یکصد میلی لیتر اسید سولفوریک حل گردید. سپس محلول کربازول (با حل کردن ۰/۱۲۰ گرم کربازول) در یکصد میلی لیتر اتانول خالص در ظرف شیشه‌ای تیره قرار داده شد. سپس محلول سدیم تترابورات به لوله‌های شیشه‌ای منتقل و نمونه‌های آماده شده در اسید بنزوئیک اشباع به لوله‌ها اضافه گردید. لوله‌ها به مدت ۱۰ ثانیه سرد و بعد به مدت ۱۲ دقیقه در حمام آب جوش قرار گرفتند. پس از خنک شدن، جذب در ۵۳۰ نانومتر قرائت گردید.

معادله مدل تعیین شده و ضرایب آن پیش‌بینی خواهند شد. داده‌های تجربی به یک مدل چندجمله‌ای مرتبه دوم (رابطه ۲) برازش داده شد که متغیرها و پاسخ‌های مستقل را بهم مرتبط می‌کند:

در روش سطح پاسخ برای هر متغیر دامنه‌ای انتخاب می‌شود. سطح سوم به عنوان سطح مرکزی یا (۰)، کمینه و بیشینه است. متغیرهای وابسته یا پاسخ‌های ارزیابی شده شامل بازده آلزینات‌سدیم (درصد) (پاسخ ۱) و میزان اسیدیورونیک (درصد) (پاسخ ۲) بودند. پس از انتخاب طرح،

$$Y = \beta_0 + \sum_{i=1}^k \beta_i x_i + \sum_{i=1}^k \beta_{ii} x_i^2 + \sum \sum \beta_{ij} x_i x_j + \epsilon \quad (\text{رابطه ۲})$$

میکروسکوپ الکترونی روبشی^۲ (SEM)

برای تشخیص خصوصیات مورفولوژیک آلزینات‌سدیم استخراجی از جلبک موردنظر از میکروسکوپ الکترونی روبشی مدل KYKY-EM3200 ساخت کشور چین استفاده شد. نمونه جلبک خشکشده روی پایه‌های آلومینیومی دستگاه لایه نشانی طلا با استفاده از چسب کربنی دوطرفه نصب شده و با لایه‌ای از فلز طلا پوشش داده شد. تصاویر عکس‌برداری شده با بزرگنمایی دلخواه ثبت گردید (Benslima *et al.*, 2021).

تجزیه و تحلیل رنگ

نتایج به دست آمده از تجزیه و تحلیل رنگ با استفاده از دستگاه رنگ‌سنج CR 10، Minolta ساخت کشور ژاپن انجام شد. پودر آلزینات‌سدیم استخراجی روی صفحه سفید استاندارد قرار گرفت. نتایج حاصله در تجزیه و تحلیل رنگ با شاخص‌های a*, b* و L* بیان می‌شوند که L*: نشان‌دهنده سفیدی، a*: نشان‌دهنده رنگ قرمز تا سبز (مثبت قرمز، منفی سبز) و b*: نشان‌دهنده مختصات زرد یا آبی (مثبت زرد، منفی آبی) است.

روش تجزیه و تحلیل آماری داده‌ها

شرایط بهینه برای استخراج آلزینات‌سدیم با استفاده از تکنیک قابع مورد نظر Derringer پیش‌بینی شده و آزمایش‌ها در سه تکرار انجام شد. دقت و قابلیت کاربردی مدل‌ها با مقایسه مقادیر تجربی و پیش‌بینی شده، ارزیابی شدند. معنی‌دار بودن آماری ضرایب در معادله رگرسیون با استفاده از تحلیل واریانس (ANOVA) بررسی شد. تناسب

در روش سطح پاسخ، معمولاً، معادله مدل درجه دوم کامل است. β_0 ، β_i ، β_{ii} و β_{ij} به ترتیب ضرایب ثابت، خطی، درجه دوم و اثر متقابل رگرسیون هستند. x_i و x_j متغیرهای مستقل هستند. ϵ خطای مدل است. k شمارنده متغیرهای است. a و z اندیس‌های متغیرهای مستقل و i کوچک‌تر از z است. از ضریب تبیین پیش‌بینی شده (R^2) برای تعیین قدرت پیش‌بینی مدل استفاده می‌شود. از جنبه آماری، مدلی مناسب است که دارای بالاترین مقدار R^2 و R^2_{adj} تصحیح شده و R^2_{Pre} باشد و هرچه مقادیر این ضرایب به عدد ۱ نزدیک‌تر باشد، قدرت مدل برازش یافته در توصیف تغییرات پاسخ به عنوان تابعی از متغیرهای مستقل بیشتر است.

طیف‌سنجدی فوریه تبدیل مادون قرمز (FTIR)^۱

برای تعیین گروه‌های عاملی تیمار بهینه از روش طیف‌سنجدی FTIR استفاده شد. در این مطالعه داده‌های FTIR آلزینات‌سدیم استخراجی با استفاده از دستگاه اسپکتروفتومتر Perkin Elmer Frontier ساخت کشور انگلستان اندازه‌گیری شد. ۲ میلی‌گرم پودر آلزینات‌سدیم با ۱۵۰ گرم پودر برومایدپتانسیم (KBr) ترکیب و بعد مخلوط حاصله با استفاده از دستگاه پرس هیدرولیک ۱۵ تن (Orpington, UK) به صورت قرص تبدیل شد. طیف FTIR در حالت عبور با استفاده از دستگاه اسپکتروفتومتر در محدوده $4000-4000\text{ cm}^{-1}$ با تفکیک‌پذیری 4 cm^{-1} به دست آمد. قبل از تجزیه و تحلیل FTIR، نمونه‌های آلزینات‌سدیم یک شباهنگی در دمای ۵۰ درجه سانتی‌گراد در زیر آون خشک شدند.

² Scanning Electron Microscope (SEM)

¹ Fourier Transform Infrared Spectrometer (FTIR)

S. شاخص‌های بهینه استخراج آلژینات‌سدیم از *angustifolium* و مقادیر واقعی و کدشده هر عامل و نقطه آزمایشی شامل سه تکرار از نقاط مرکزی در جدول ۲ رائه شده است. متغیرهای مستقل مطالعه شامل دما (A)، زمان (B) و pH (C) بودند. معادله چندجمله‌ای درجه‌دوم همبستگی بین متغیر مستقل و پاسخ‌ها را نشان می‌دهد. تجزیه و تحلیل رگرسیون چندگانه و تجزیه و تحلیل واریانس (ANOVA) بر داده‌های تجربی انجام شد (جدول ۳) و دو معادله چندجمله‌ای مرتبه دوم بر حسب عوامل کدگذاری شده ایجاد شد.

معادله چندجمله‌ای با پاسخ‌ها با ضرایب تعیین (R^2) و عدم تناسب با آزمون F (ANOVA) در سطح اطمینان ۹۵ درصد ($p < 0.05$) ارزیابی شد. طرح آزمایش‌ها با استفاده از نرم‌افزار Design Expert 10 انجام شد. برای مدل‌های که $F_{\text{calculated}} > F_{\text{tabulated}}$ و $R^2 \geq 0.90$ است، سطوح پاسخ ایجاد و تحلیل می‌شوند.

نتایج

نتایج طرح آزمایش CCD با ۱۹ تکرار برای ارزیابی

جدول ۲: طرح مرکب مرکزی RSM و پاسخ‌های مشاهده شده: بازده آلژینات‌سدیم و اسیدیورونیک (درصد)

Table 2: CCD design from RSM and the observed responses; Sodium alginate yield and uronic acids (%)

Std	Run	Factor 1	Factor 2	Factor 3	Response 1	Response 2
		A: Temperature °C	B: Time h	C: pH	Sodium alginate yield %	Uronic acid content %
10	1	90	2.5	9	15.501	8.981
18	2	65	2.5	9	13.407	17.208
9	3	40	2.5	9	12.104	10.070
2	4	90	1	8	12.184	7.167
11	5	65	1	9	12.778	14.435
13	6	65	2.5	8	11.652	9.278
7	7	40	4	10	26.902	27.881
14	8	65	2.5	10	31.487	27.547
4	9	90	4	8	10.559	6.489
3	10	40	4	8	11.183	6.122
15	11	65	2.5	9	16.318	12.608
17	12	65	2.5	9	14.277	13.027
8	13	90	4	10	34.648	18.743
12	14	65	4	9	17.257	16.196
1	15	40	1	8	9.528	4.035
19	16	65	2.5	9	12.825	11.413
16	17	65	2.5	9	14.75	15.304
5	18	40	1	10	23.689	25.223
6	19	90	1	10	31.435	23.296

با استفاده از رابطه ذیل به‌دست آمد:

معادلات درجه دوم برای بازده آلژینات و میزان اسیدیورونیک

$$\text{Alginate yield: } 14.6029 + 2.0921 A + 1.0935 B + 9.3055 C - 0.41 AB + 1.6825 AC + 0.7995 BC - 1.15968 A^2 + 0.0553247 B^2 + 6.60732 C^2$$

$$\text{Uronic acid content: } 14.0044 - 0.8655 A + 0.1275 B + 8.9599 C - 1.247 AB - 1.8205 AC - 0.413 BC - 4.59434 A^2 + 1.19566 B^2 + 4.29266 C^2$$

بالا بود (جدول ۴) در حالی که مقادیر p پایین برای بازده و اسیدیورونیک $= 0.0002$ تأیید شد که نشان دهنده برازش خوب مدل با داده‌های آزمایش بود. ضرایب تخمین‌زده شده برای معادله بهینه‌شده نشان می‌دهد که متغیر مستقل pH $(C; p < 0.0001)$ و عبارت درجه دوم آن $(AC^2; p < 0.0001)$ مهم‌ترین شاخص مؤثر بر بازده آلژینات بود و به دنبال آن دما $(A; p = 0.0005)$ و زمان $(B; p = 0.0233)$ در مراحل بعدی بودند. برهمکنش قابل توجهی بین pH و دمای استخراج به دست آمد ($AC; p = 0.0045$) (جدول ۳).

با توجه به جدول ۲ بازده استخراج آلژینات سدیم بر اساس ۹/۵۲۸-۳۴/۶۴۸ در تیمار در نظر گرفته شده، در محدوده ۴۰ درجه سانتی‌گراد، زمان ۴ ساعت تحت pH ۱۰ به دست آمد. میزان اسیدیورونیک در محدوده ۴/۰۳۵-۲۷/۸۸۱ درصد به دست آمد که بیشترین میزان بازده آلژینات سدیم در دمای ۴۰ درجه سانتی‌گراد، زمان ۴ ساعت و در pH ۱۰ حاصل گردید. در جدول ۳ رابطه بین متغیرهای مستقل (دما، زمان و pH) و پاسخ‌ها (بازده و اسیدیورونیک) ارائه شده است. ضرایب تعیین (R^2) برای مدل بازده (0.98) و اسیدیورونیک (0.97)

جدول ۳: تجزیه و تحلیل واریانس (ANOVA) برای طرح CCD بازده استخراج آلژینات سدیم و میزان اسیدیورونیک

Table 3: Analysis of variance (ANOVA) for CCD model of sodium alginate extraction yield and uronic acid content

Source	Sum of Squares	df	Mean Square	F-value	p-value	
Model of yield	1123.64	9	124.85	77.75	< 0.0001	significant
A-Temperature	43.77	1	43.77	27.26	0.0005	
B-Time	11.96	1	11.96	7.45	0.0233	
C-pH	865.92	1	865.92	539.28	< 0.0001	
AB	1.34	1	1.34	0.8375	0.3840	
AC	22.65	1	22.65	14.10	0.0045	
BC	5.11	1	5.11	3.18	0.1080	
A^2	3.67	1	3.67	2.29	0.1646	
B^2	0.0084	1	0.0084	0.0052	0.9440	
C^2	119.29	1	119.29	74.29	< 0.0001	
Residual	14.45	9	1.61			
Lack of Fit	7.20	5	1.44	0.7952	0.6046	not significant
Pure Error	7.25	4	1.81			
Cor Total	1138.09	18				
Model of uronic content	934.89	9	103.88	36.12	< 0.0001	significant
A-Temperature	7.49	1	7.49	2.60	0.1410	
B-Time	0.1626	1	0.1626	0.0565	0.8174	
C-pH	802.80	1	802.80	279.16	< 0.0001	
AB	12.44	1	12.44	4.33	0.0673	
AC	26.51	1	26.51	9.22	0.0141	
BC	1.36	1	1.36	0.4745	0.5083	
A^2	57.68	1	57.68	20.06	0.0015	
B^2	3.91	1	3.91	1.36	0.2738	
C^2	50.35	1	50.35	17.51	0.0024	
Residual	25.88	9	2.88			
Lack of Fit	4.35	5	0.8703	0.1617	0.9643	not significant
Pure Error	21.53	4	5.38			
Cor Total	960.77	18				

میزان اسیدیورونیک داشت. با توجه به جدول ۴ pH دارای بیشترین تاثیر بر میزان اسیدیورونیک و بازده آلژینات سدیم بود.

در مورد میزان اسیدیورونیک، pH $(C; p = 0.0001)$ حتی زمانی که با متغیرهای دما $(AC; p = 0.0141)$ و زمان $(B; p = 0.0005)$ ترکیب شد، اثر خطی قابل توجهی بر

جدول ۴: مدل درجه دوم برای پاسخ های بازده آلژینات سدیم و میزان اسید یورونیک

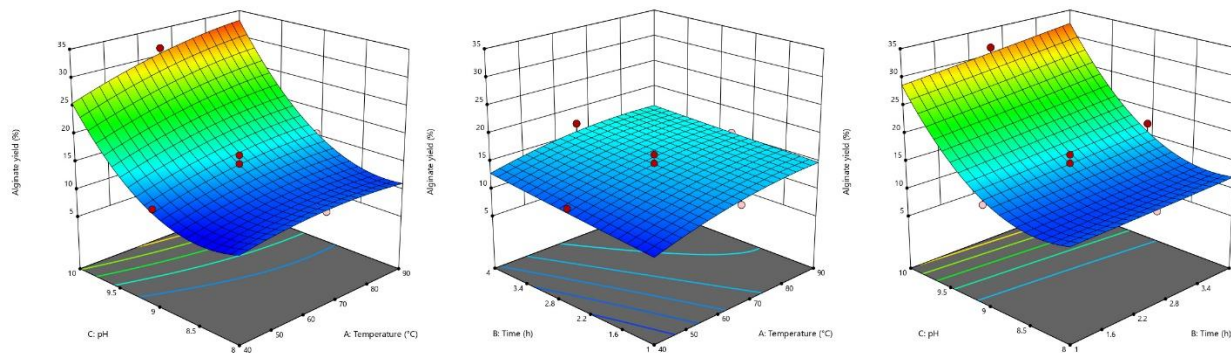
Table 4. Quadratic model for the responses of Alginate yield and Uronic acid content

Y	Intercept	A	B	C	A^2	B^2	C^2	$A \times B$	$A \times C$	$B \times C$	R^2
Alginate yield (%)	14.60	2.09*	1.09*	9.31*	-1.16	0.05	6.61*	-0.41	1.68*	0.79	0.98
Uronic acid (%)	14.00	-0.86	0.12	8.96*	-4.59*	1.20	4.29*	-1.25	-1.82*	-0.41	0.97

*Significant ($p < 0.05$); A: Temperature; B: Time; C: pH.

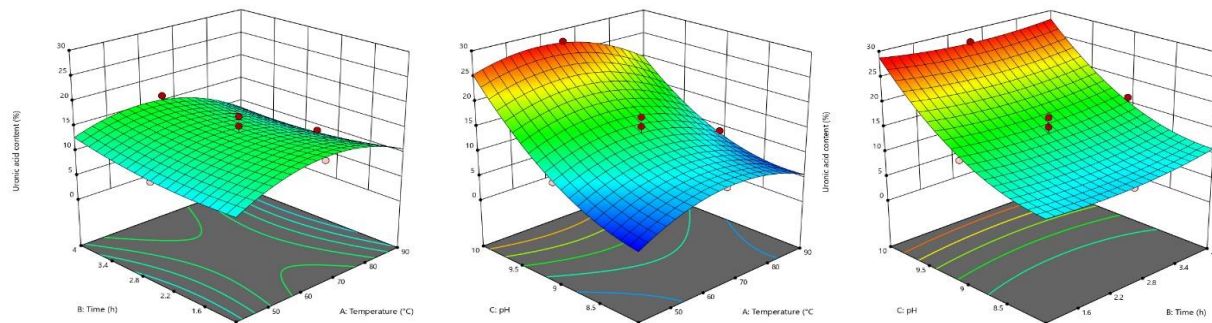
دما و زمان استخراج آلژینات سدیم افزایش یافت. با افزایش pH میزان اسید یورونیک افزایش یافته، اما با افزایش دما میزان اسید یورونیک کاهش یافت.

نمودارهای سه بعدی سطح پاسخ، برای پاسخ های بازده آلژینات و میزان اسید یورونیک بر اساس معادله چند جمله ای درجه دوم را نشان می دهد (شکل های ۲ و ۳). بر اساس نتایج، بازده آلژینات سدیم با افزایش pH با حداقل مشارکت



شکل ۲: اثر همزمان دما، زمان و pH بر بازده آلژینات سدیم استخراجی از جلبک *S. angustifolium*

Figure 2: The simultaneous effect of temperature, time and pH on the yield of sodium alginate extracted from *S. angustifolium* algae

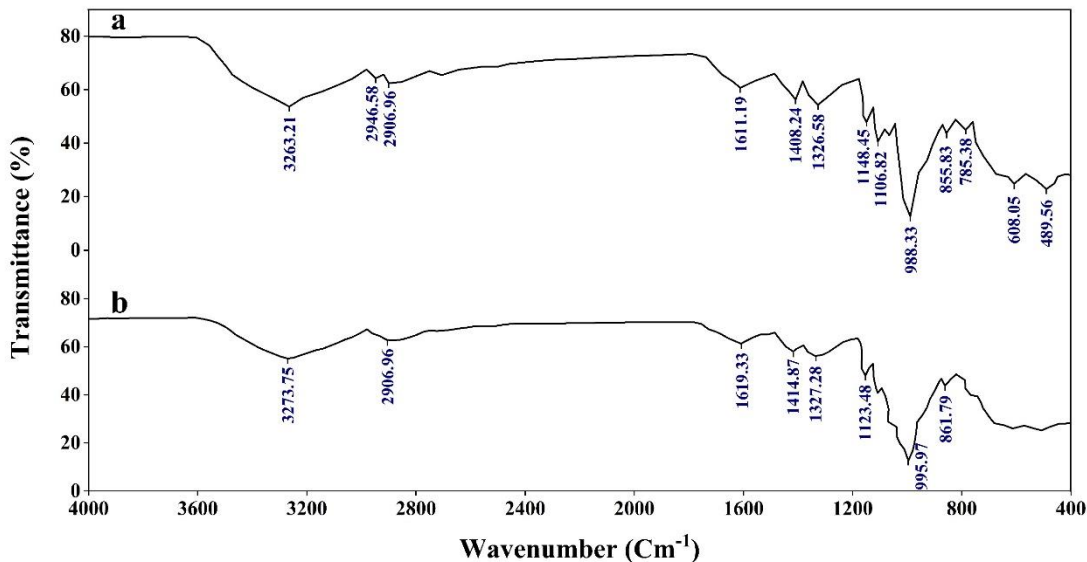


شکل ۳: اثر همزمان دما، زمان و pH بر درصد اسید یورونیک جلبک *S. angustifolium*

Figure 3: The simultaneous effect of temperature, time and pH on the percentage of uronic acid in the algae *S. angustifolium*

گروه C-H است. باند ایجاد شده در محدوده 1600 cm^{-1} گروه O=C=O و مربوط به ارتعاشات نامتقارن و متقارن گروه C=O است که می تواند مربوط به وجود اسید یورونیک باشد (Mohammad *et al.*, 2018). باندهای ایجاد شده در محدوده 1106 cm^{-1} و 1123 cm^{-1} می تواند متعلق به خمسن C-C پیرانو ز متعلق به اسید گلوکورونیک باشد.

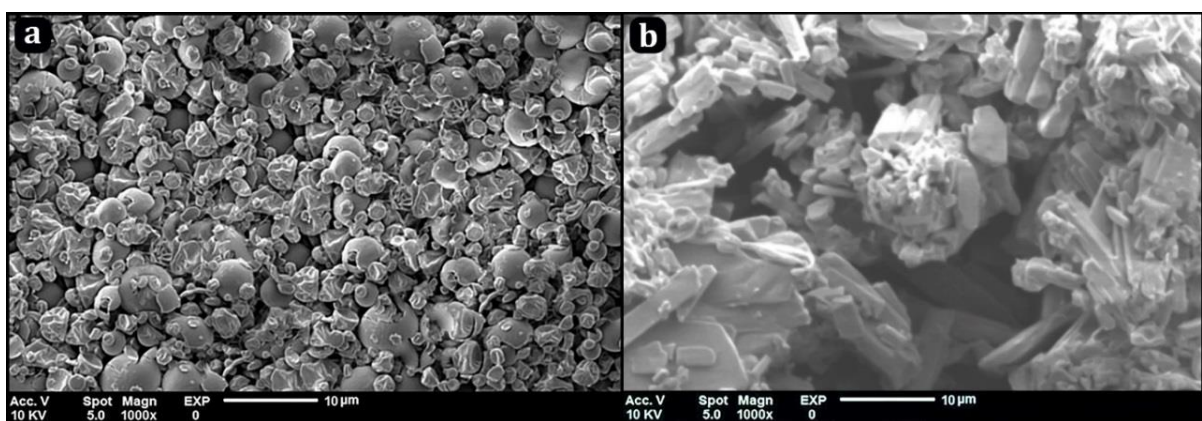
شناسایی گروه های عاملی آلژینات سدیم استخراجی و مقایسه آن با آلژینات تجاری بر اساس طیف FTIR در شکل ۴-a و ۴-b نشان داده شده است. باندهای قوی ایجاد شده در 3263 cm^{-1} و 3276 cm^{-1} به ترتیب مربوط به گروه های هیدروکسیل O-H طیف آلژینات سدیم تجاری و استخراجی است (Yang *et al.*, 2025) در هر دو طیف مربوط به



شکل ۴: طیف FTIR آلزینات‌سدیم تجاری (a) و آلزینات‌سدیم استخراجی (b)
Figure 4: FTIR spectra of commercial sodium alginate (a) and extracted sodium alginate (b)

استخراجی نشان داده شده است. ریخت‌شناسی سطح جلبک به‌وضوح فیبرهای آلزینات‌سدیم را در شکل ۵ (a) نشان نمی‌دهد در حالی که در شکل ۵ (b) مورفولوژی سطح الیاف آلزینات‌سدیم استخراجی را می‌توان به‌وضوح مشاهده کرد. ذرات کوچک آلزینات‌سدیم دارای سطحی ناهموار به صورت شبکه‌کروی بودند.

باند 995 cm^{-1} می‌تواند مرتبط با ارتعاش کششی C=O اسیدیورونیک باشد که مربوط به ارتعاش حلقه نامتقارن α -L-گلوکورونیک است. باند ظاهرشده در محدوده 855 cm^{-1} می‌تواند به β -D-اسیدمانورونیک مرتبط باشد (Mohammad et al., 2020). در شکل ۴ ریخت‌شناسی سطح جلبک قهقهه‌ای و آلزینات‌سدیم



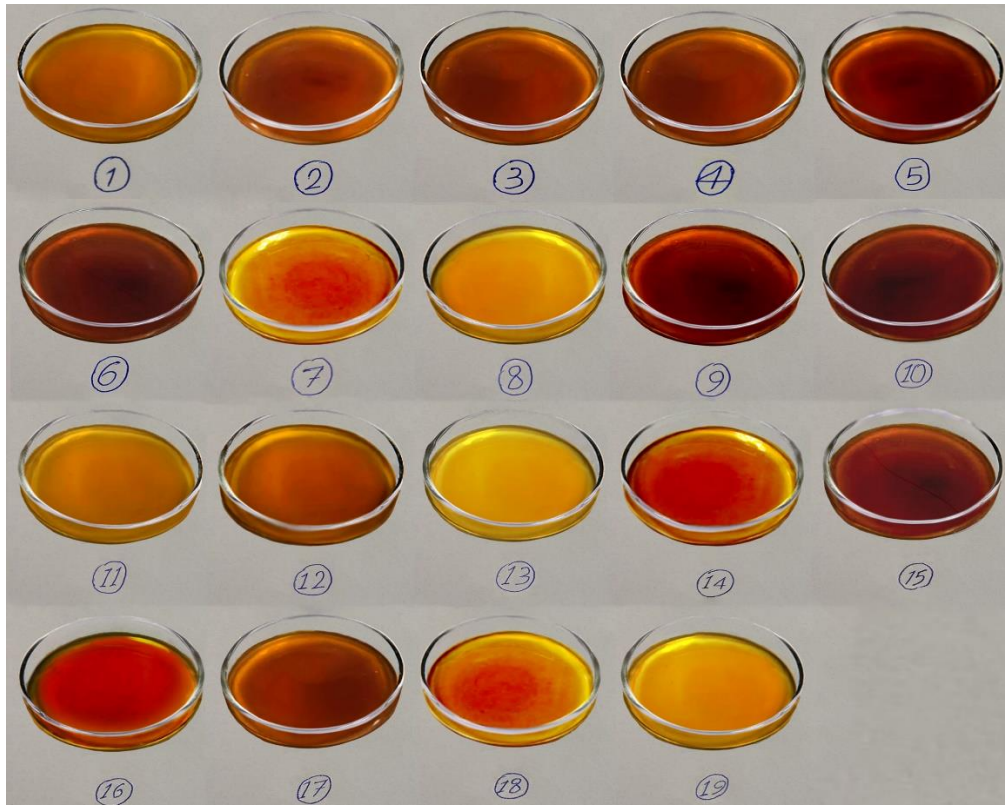
شکل ۵: تصویر SEM سطح جلبک (a) و آلزینات‌سدیم استخراجی (b)
Figure 5: SEM image of the surface of *S. angustifolium* algae (a) and extracted sodium alginate (b)

pH نشان داده شده است. در بین متغیرهای مورد مطالعه، pH دارای بیشترین تأثیر بود و افزایش مقادیر pH منجر به

در شکل ۶ تجزیه و تحلیل رنگ آلزینات‌سدیم استخراجی به‌واسطه طرح مرکب مرکزی با متغیرهای مستقل دما، زمان

بالاتر، استخراج قلیایی در مقدار pH بالاتر، رنگ روشن تری به آژینات داد.

محلول‌های آژینات با رنگ روشن تر شد همان‌طوری که در نمونه‌های شماره ۷، ۸، ۱۳، ۱۸ و ۱۹ نشان داده شده است که در pH=۱۰ به دست آمدند. بنابراین، علاوه بر بازده



شکل ۶: رنگ آژینات سدیم استخراجی تحت تأثیر شاخص‌های متفاوت استخراج دما، زمان و pH

Figure 6: Color of extracted sodium alginate affected by different extraction parameters temperature, time, and pH

این جلبک و سایر گونه‌ها از سوی سایر محققان قابل مقایسه است: *Sargassum natans* ۲۳ درصد، *Sargassum vulgare* ۱۷ درصد، *Padina gymnospora* ۱۶ درصد، *Laminaria digitata* ۲۲ درصد، *Padina antillarum* ۲۶ درصد (Knudsen et al., 2017)، *Macrocystis pyrifera* ۲۹ درصد، *Sargassum vulgare* (Knudsen et al., 2017)، *Sargassum* (Sari-Chmayssem et al., 2016)، *Rhein* (Dr. Mohammed et al., 2018)، *natans* ۱۹ درصد (*Nogueira et al.*, 2022)، *Sargassum cymosum* ۵۱/۸۴ درصد (*Dictyota mertensii* (al., 2022)، *Kanagesan* (Queiroz et al., 2024)، *queiroz* ۲۸/۲۹ درصد، *S. angustifolium* ۱۸/۵۵ درصد آژینات را از جلبک بازده ۴۹

بحث

بهینه‌سازی شرایط فرایند برای رسیدن به حداکثر بازده و مقدار اسیدیورونیک را می‌توان با تجزیه و تحلیل چند پاسخ با استفاده ازتابع مطلوبیت به دست آورد. در شرایط آزمایشی مورد مطالعه، بازده استخراج پیش‌بینی شده آژینات سدیم به ترتیب ۳۳/۵۴ درصد و با مقدار مطلوب ۹۵۶/۰ بود. مقدار مطلوبیت بالا ($d \leq 10$) حاکی از دقت بهتر متغیرهای مستقل در بهینه‌سازی است. هر دو پاسخ به صورت تجربی تحت شاخص‌های بهینه تابید شدند که نشان می‌دهد، مدل برای پیش‌بینی این پاسخ‌ها کافی است. میزان استخراج آژینات سدیم از جلبک *S. angustifolium* تحت شاخص‌های مطالعه حاضر، در محدوده آژینات استخراجی از

دماهای ۶۰ درجه سانتی گراد نسبت به دماهای بالاتر (۱۱ درصد آلزینات در ۸۰ درجه سانتی گراد) به دست آوردن که با مطالعات قبلی هم‌خوانی داشت. در مقابل، Mohammad و همکاران (۲۰۲۰) بازده استخراج بالاتری را از گونه‌های Sargassum گزارش کردند ۲۰/۸ درصد در ۸۰ درجه سانتی گراد. این نتایج با نتایج گزارش شده از Mazumder و همکاران (۲۰۱۶) مطابقت دارد که مشاهده کردند که عملکرد به طور قابل توجهی در بالای ۷۰ درجه سانتی گراد افزایش یافت (همخوانی با مطالعه حاضر) در حالی که حداقل بازده آلزینات از *Sargassum muticum* بین ۹۲ و ۱۰۰ درجه سانتی گراد به ترتیب ۱۲/۶ و ۱۳/۵ درصد به دست آمد که کمتر از نتیجه مطالعه حاضر بود. با این حال، گزارش شده است که دماهی بالاتر از ۶۰ درجه سانتی گراد می‌تواند تجزیه آلزینات را تحریک کند و وزن مولکولی آن را کاهش دهد (Abraham et al., 2019). دماهی بهینه برای دستیابی به بازده استخراج بالاتر به گونه‌های جلبک قهقهه‌ای و سایر متغیرها (زمان، قلیائیت، pH) و اثر متقابل آنها با یکدیگر بستگی دارد. علاوه بر این، دستیابی به راندمان استخراج بالا همیشه هدف مورد نظر نیست. اغلب، هدف به دست آوردن آلزینات با کیفیت بالاست. بنابراین، نسبت G/M، وزن مولکولی و ویسکوزیته، شاخص‌های حیاتی برای کاربرد آلزینات هستند. در نتیجه، بهینه‌سازی دما در طول فرایند استخراج باید همراه با بهینه‌سازی سایر متغیرها انجام شود (Bojorges et al., 2023).

اثر زمان

زمان استخراج یک شاخص مهم است که به طور قابل توجهی بر عملکرد آلزینات و خواص فیزیکوشیمیایی آن تأثیر می‌گذارد. به طور کلی، فرایند استخراج به چندین ساعت نیاز دارد که در محدوده ۲-۱۲ ساعت متغیر است. با این حال، تحقیقات نشان داده‌اند که برای استخراج آلزینات از *Macrocystis pyrifera* زمان استخراج بهینه ۳/۵ ساعت (Gomez ۰۰۰۹ و پس از آن زمان، بازده استخراج کاهش یافته) (et al., 2009 و همکاران (۲۰۱۶) نتایج مشابهی را گزارش کردند که ارتباط مستقیمی بین زمان استخراج و بازده استخراج یافتند جایی که حداقل بازده

به دست آوردن. تغییرات در بازده استخراج آلزینات در میان مطالعات مختلف، از جمله مطالعه حاضر، ممکن است به دلیل تفاوت در گونه‌های سارگاسوم، شرایط رشد یا شرایط استخراج باشد (Khan et al., 2024). بازده آلزینات استخراجی در بین جلبک‌های دریایی قهقهه‌ای مورد بررسی متفاوت است، زیرا این جلبک‌ها دارای فرایندی می‌دهد، متابولیک مختلفی هستند که به آنها اجازه تولید پلی‌ساقاریدها تحت تأثیر چندین عامل مانند گونه، سن، زمان نمونه‌برداری و روش استخراج، متفاوت است (El- Sheekh et al., 2024).

اثر دما

نقشه بحرانی در استخراج قلیایی، دماهی مورد استفاده در طول عملیات است که معمولاً در محدوده ۲۰-۱۰۰ درجه سانتی گراد متغیر است. افزایش دماهی استخراج می‌تواند منجر به آزادسازی بیشتر آلزینات از جلبک قهقهه‌ای شود که در بازده بالاتر منعکس می‌شود. با این حال، افزایش دما می‌تواند تخریب زنجیره‌های پلیمری آلزینات را افزایش داده و در نتیجه ویسکوزیته محلول آلزینات مربوطه را کاهش دهد (Bojorges et al., 2023). در مطالعه حاضر، دماهی ۹۰ درجه سانتی گراد بهترین بازده استخراج آلزینات را به همراه داشت. Chee و همکاران (۲۰۱۱) بازده استخراج آلزینات از *Sargassum siliculosum* را در شرایط ۵۰ درجه سانتی گراد به مدت ۵ ساعت ۴۹/۹ درصد به دست آوردن. Fertah و همکاران (۲۰۱۷) سه دماهی مختلف (۲۵، ۴۰ و ۶۰ درجه سانتی گراد) برای استخراج آلزینات از *Laminaria digitata* را مقایسه کردند و بالاترین بازده استخراج در دماهی ۴۰ درجه سانتی گراد به میزان ۵۱/۸ درصد را گزارش کردند. Torres و همکاران (۲۰۰۷) حداقل بازده آلزینات را ۱۷/۷ درصد در دماهی ۶۰ درجه سانتی گراد از *Sargassum vulgare* گزارش کردند. نتایج مشابهی از Caballero و همکاران (۲۰۲۱) گزارش شده است که بازده آلزینات بالاتر (۲۱ درصد) برای *Durvillaea antarctic* در

از آن جایی که تنظیم pH در استخراج آلزینات می‌تواند پیچیده باشد، Mazumder و همکاران (۲۰۱۶) اثر غلظت *Sargassum Na₂CO₃* را بر بازده استخراج آلزینات از *Sargassum muticum* تجزیه و تحلیل کردند. آنها به این نتیجه رسیدند که غلظت قلیایی بهینه برای به دست آوردن عملکرد بالاتر از ۳ درصد است. بالاتر از این غلظت، عملکرد به طور قابل توجهی کاهش یافت که در مطالعه حاضر نیز از ۳ درصد کربنات‌سدیم استفاده شد. سایر مطالعات نیز این موضوع را ثابت کردند (Hernandez-Carmona et al., 2002; Mohammed et al., 2016) (Mazumder et al., 2016) و همکاران (۲۰۱۸) استفاده از غلظت بالاتر ۵-۱۰ درصد کربنات‌سدیم را برای استخراج آلزینات از *Sargassum natans* بررسی کردند. نتایج آنها نشان داد که در غلظت ۵ درصد به بالا، بازده استخراج کمی افزایش یافته، ولی بازده آلزینات به طور معنی‌داری کاهش یافت. کربنات‌سدیم طی استخراج قلیایی با پیوندهای β -گلیکوزیدی واکنش می‌دهد و باعث تخریب آلزینات و تشکیل اسیدهای مونوکربوکسیلیک و دی‌کربوکسیلیک می‌شود. کربنات‌سدیم باعث جایگزینی سدیم در گروههای کربوکسیلیک اسیدآلزینیک شده و نمک آلزینات‌سدیم حاصل می‌شود. افزایش غلظت کربنات‌سدیم سبب جایگزین شدن بیشتر یون کلسیم می‌شود و راندمان استخراج آلزینات افزایش می‌یابد. این افزایش تا جایگزین شدن کامل گروههای کربوکسیلیک با یون سدیم ادامه می‌یابد و سپس دپلیمریزه شدن آلزینات، موجب کاهش راندمان می‌شود. پس تاثیر زمان در این مرحله اهمیت دارد، زیرا برای نفوذ کربنات‌سدیم و تبدیل اسیدآلزینیک به آلزینات‌سدیم به زمان نیاز است. نشان داده شد که زمان بالاتر از ۳ ساعت بالاترین بازده استخراج آلزینات را به دست می‌آورد (مطابق با نتایج مطالعه حاضر). ولی بعد از آن به دلیل اثر سوء pH قلیایی کربنات‌سدیم و دپلیمریزاسیون آلزینات، راندمان کاهش می‌یابد (Kanagesan et al., 2022). بنابراین، توصیه می‌شود pH تا حدود ۱۰ کنترل شود که در مطالعه حاضر نیز همین مقدار بیشترین بازده آلزینات و اسیدیورونیک را به همراه داشت. این موضوع در مطالعه Tiemi و همکاران (۲۰۲۲) نیز تایید شد که استفاده از ۲ درصد کربنات‌سدیم برای تنظیم pH=۱۰ را گزارش

استخراج آلزینات از *Sargassum muticum* پس از ۳ ساعت استخراج به دست آمد که با نتیجه مطالعه حاضر همخوانی داشت. Mohammed و همکاران (۲۰۲۰) رابطه قوی بین متغیرهای دما و زمان را گزارش کردند جایی که زمان استخراج بهینه ۶ ساعت برای دستیابی به بازده بالای آلزینات از *Sargassum* نیاز بود. اثر زمان استخراج نه تنها بر عملکرد بلکه بر خواص رئولوژیک آلزینات نیز تأثیر می‌گذارد. Vauchel و همکاران (۲۰۰۸) کاهش قابل توجهی در ویسکوزیته دینامیک آلزینات پس از ۲ ساعت استخراج مشاهده کردند و نتیجه گرفتند که زمان استخراج طولانی می‌تواند منجر به پلیمریزاسیون آلزینات و کاهش ویسکوزیته شود. Truuus و همکاران (۲۰۰۱) گزارش کردند که زمان استخراج طولانی و دماهای بالا باعث پلیمریزاسیون زنجیره پلیمری آلزینات می‌شود و آلزینات‌هایی با ویسکوزیته کمتر تولید می‌کند. به طور متناقض، Torres و همکاران (۲۰۰۷) آلزینات را از گونه‌های *Sargassum* استخراج کردند. در دمای ۶۰ درجه سانتی‌گراد، آلزینات‌های استخراجی با زمان استخراج کوتاه‌تر (۱ ساعت) را به عنوان "ویسکوزیته کم" شناسایی کردند در حالی که آلزینات‌ها به مدت ۵ ساعت به عنوان "ویسکوزیته بالا" استخراج می‌شوند. افزایش زمان استخراج منجر به انحلال ماکرومولکول‌هایی با وزن مولکولی بالا در محلول استخراج قلیایی می‌شود. علاوه بر این، مقادیر نسبت M/G بالاتر بود (به ترتیب ۱/۶ و ۱/۳) در مقایسه با اکثر موارد گزارش شده برای گونه‌های *Sargassum* که در محدوده ۰/۸-۰/۲۰ است (Łabowska et al., 2019). این نتیجه، مطابق با با گزارش Fawzy و همکاران (۲۰۱۷) بود که نشان داد، افزایش زمان استخراج منجر به افزایش قابل توجهی در MM و کاهش GG شد که در نتیجه نسبت M/G بالاتری ایجاد می‌شود.

اثر pH

آلزینات با محلول‌های قلیایی، معمولاً با Na_2CO_3 به دلیل هزینه کم و توانایی آن برای رسیدن به pH بالای ۱۰ استخراج می‌شود (Łabowska et al., 2019) . pH خنثی منجر به تبدیل اسیدآلزینیک به آلزینات‌سدیم محلول در آب می‌شود که حالت ژل دارد (Fenoradosoa et al., 2010).

نسبت به نمونه تجاری آلزینات دیده شد. برای تجزیه و تحلیل پلی‌ساکاریدها، ناحیه آنومری بین $950\text{--}1000\text{ cm}^{-1}$ و $1600\text{--}1700\text{ cm}^{-1}$ است. به طور کلی، آلزینات دو پیک در این ناحیه نشان می‌دهد، یکی حدود $995/97\text{ cm}^{-1}$ و دیگری به صورت یک پیک شانه‌ای کوچک حدود $861/79\text{ cm}^{-1}$ که به ترتیب مربوط به مانورونیک‌اسید و گلوکورونیک‌اسید است. این پیک‌ها در طیف آلزینات تجاری نیز شناسایی شدند، اما در مقایسه با آلزینات استخراجی، شدت آنها افزایش یافته است. علاوه‌براین، پیک‌های شانه‌ای با شدت‌های کوچک در cm^{-1} $489/56\text{--}608/05$ و پیک شانه‌ای در $489/56\text{--}608/05$ در طیف FTIR آلزینات تجاری یافت شد که به ترتیب به ارتعاش کششی-C-O اسید اورونیک و ارتعاش تغییر شکل C1-H اسید مانورونیک نسبت داده می‌شوند (Nesic *et al.*, 2023).

تغییر شکل پیک از شانه پهن به پیک باریک و شدت پیک از ضعیف به قوی، نشان می‌دهد که این مسئله می‌تواند مربوط به گروه عاملی دیگری در آلزینات باشد. در مقالات یافته شده است که پیک‌های $870\text{--}880\text{ cm}^{-1}$ نمونه‌ای از ارتعاشات یون‌های کربنات هستند (Fleet, 2009; Database of ATR-FT-IR, 2022).

منابع

- Abraham, R.E., Su, P., Puri, M., Raston, C.L. and Zhang, W., 2019.** Optimisation of biorefinery production of alginate, fucoidan and laminarin from brown seaweed *Durvillaea potatorum*. *Algal Research*, 38:101389. DOI:10.1016/j.algal.2018.101389
- Benslima, A., Sellimi, S., Hamdi, M., Nasri, R., Jridi, M., Cot, D., Li, S., Nasri, M. and Zouari, N., 2021.** The brown seaweed *Cystoseira schiffneri* as a source of sodium alginate: chemical and structural characterization, and antioxidant activities. *Food Bioscience*, 40:100873, DOI:10.1016/j.fbio.2020.100873

کردند که برای به دست آوردن بازده بالا $45/8\text{ درصد}$ آلزینات *Sargassum cymosum* را بهینه بود. با توجه به ناهمگونی جلبک‌های قهقهه‌ای، اجماع در مورد بهترین محدوده pH نمی‌تواند برای همه گونه‌های جلبک قهقهه‌ای اعمال شود. در مطالعه Youssouf و همکاران (۲۰۱۷) بازده آلزینات در pH=۱۰ $33/54\text{--}40/36\text{ درصد}$ از *Turbinaria* و *Sargassum binderi* و Mohammed (Youssouf *et al.*, 2017) بود (*ornata* همکاران (۲۰۲۰) با استفاده از کربنات‌سدیم $5/5\text{ درصد}$ توانستند بازده $21/7\text{ درصد}$ آلزینات را بدون تجزیه آن از گونه‌های *Sargassum* به دست آورند. آنها به این نتیجه رسیدند که در آن غلظت و با افزایش دما، محلول قلیایی به دیواره‌های سلولی جلبک نفوذ نمود و حلایت و انتشار آلزینات را در محلول قلیائیت بهبود بخشید. علاوه‌براین، سایر فعل و افعالات بین زمان، نسبت قلیایی به جلبک و دما می‌تواند باعث ایجاد تغییراتی در M/G شود. به طور خاص، افزایش محتوای MM بلوک‌های هموپلیمری و کاهش محتوای GG برای زمان‌های استخراج طولانی و نسبت قلیایی به جلبک بالا در مقایسه با بلوک‌های MG که دارای نوسانات متناوب اندکی هستند، گزارش شد. به عبارت دیگر، بلوک‌های G هموپلیمری به دلیل شکستن پیوندهای گلیکوزیدی مرتبط با اسید‌گلورونیک، نسبت به بلوک‌های هتروپلیمری به شرایط استخراج حساس‌تر هستند (Fawzy .*et al.*, 2017)

طیفسنجی

نتایج به دست آمده از داده‌های FTIR آلزینات‌سدیم در مطالعه حاضر، با پیک‌های مربوط به ارتعاش کششی نامتقارن $1600\text{--}1610\text{ cm}^{-1}$ (بر سانتی‌متر) و متقارن $1400\text{--}1410\text{ cm}^{-1}$ (گروه کربوکسیلات آلزینات‌سدیم O-C-O) در طیف آلزینات‌های استخراجی از مطالعات مطابقت داشت (Sagukawa *et al.*, 2004; Gomwz *et al.*, 2009; Yang *et al.*, 2013). در استخراج قلیایی آلزینات امکان انحلال اسیدآلزینیک به شکل گروههای کربوکسیله فراهم می‌شود. علاوه‌براین، پیک‌های موجود در ناحیه $1100\text{--}1100\text{ cm}^{-1}$ مربوط به ارتعاشات کششی C-C, C-O و O-C حلقه پیرانو، به صورت قوی‌تر در نمونه استخراجی

- Beratto, A., Agurto, C., Freer, J., Peña-Farfal, C., Troncoso, N., Agurto, A. and Castillo, R.D.P., 2017.** Chemical characterization and determination of the anti-oxidant capacity of two brown algae with respect to sampling season and morphological structures using infrared spectroscopy and multivariate analyses. *Applied Spectroscopy*, 71:2263–227. DOI:10.1177/0003702817715654.
- Bitter, T. and Muir, H.M., 1962.** A modified uronic acid carbazole reaction. *Analytical Biochemistry*, 4 330–334. DOI:10.1016/0003-2697 (62)90095-7.
- Bojorges, H., Lopez-Rubio, A., Martínez-Abad, A. and Fabra, M.J., 2023.** Overview of alginate extraction processes: Impact on alginate molecular structure and technofunctional properties. *Trends in Food Science & Technology*, 140:104142. DOI:10.1016/j.tifs.2023.104142
- Caballero, E., Flores, A. and Olivares, A., 2021.** Sustainable exploitation of macroalgae species from Chilean coast: Characterization and food applications. *Algal Research*, 57:102349. DOI:10.1016/J.ALGAL.2021.102349
- Chee, S.Y., Wong, P.K. and Wong, C.L., 2011.** Extraction and characterisation of alginate from brown seaweeds (Fucales, Phaeophyceae) collected from Port Dickson, Peninsular Malaysia. *Applied Phycology*, 23(2):191–196. DOI:10.1007/s10811-010-9533-7
- Database of ATR-FT-IR Spectra of Various Materials, 2022.** Available online: <https://spectra.chem.ut.ee/> (accessed on 22 July 2022)
- El-Sheekh, M., Fathy, A., Saber, H. and Saber, A., 2023.** Medicinal and pharmaceutical applications of seaweeds. *Egyptian Journal of Botany*, 63 (1):1–29. DOI:10.21608/ejbo.2022.145631.2022.
- El-Sheekh, M., Kassem, W.M.A., Alwaleed, E.A. and Saber, H., 2024.** Optimization and characterization of brown seaweed alginate for antioxidant, anticancer, antimicrobial, and antiviral properties. *International Journal of Biological Macromolecules*, 278:134715. DOI:10.1016/j.ijbiomac.2024.134715
- Faidi, A., Becheikh, M.E.H., Lassoued, M.L., Stumbé, J.F., Safta, F. and Sfar, S., 2025.** Isolation of sodium alginate-like polysaccharide from *Padina pavonica*: Optimization, characterization and antioxidant properties. *Journal of Molecular Structure*, 139737. DOI:10.1016/j.molstruc.2024.139737
- Fawzy, M.A., Gomaa, M., Hifney, A.F. and Abdel-Gawad, K.M., 2017.** Optimization of alginate alkaline extraction technology from *Sargassum latifolium* and its potential antioxidant and emulsifying properties. *Carbohydrate Polymers*, 157: 1903–1912. DOI:10.1016/j.carbpol.2016.11.077
- Fenoradosoa, T.A., Ali, G., Delattre, C., Laroche, C., Petit, E., Wadouachi, A. and Michaud, P., 2010.** Extraction and characterization of an alginate from the brown seaweed *Sargassum turbinarioides* Grunow. *Applied Phycology*, 22(2):131–137. DOI:10.1007/S10811-009-9432-Y/FIGURES/4
- Fertah, M., Belfkira, A., Taourirte, M. and Brouillette, F., 2017.** Extraction and characterization of sodium alginate from

- Moroccan *Laminaria digitata* brown seaweed. *Arabian Journal of Chemistry*, 10:S3707–S3714. DOI:10.1016/j.arabjc.2014.05.003
- Fleet, M.E., 2009.** Infrared spectra of carbonate apatites: v2-Region bands. *Biomaterials*, 30:1473–1481.
- Gomez, C.G., Perez Lambrecht, M.V., Lozano, J.E., Rinaudo, M. and Villar, M.A., 2009.** Influence of the extraction–purification conditions on final properties of alginates obtained from brown algae (*Macrocystis pyrifera*). *International Journal of Biological Macromolecules*, 44(4):365–371. <http://doi.org/10.1016/J.IJBIOMAC.2009.02.005>
- Guiry, M.D., Guiry, M.D. and Guiry, G.M., 2021.** AlgaeBase, World-Wide Electronic Publication, National University of Ireland, Galway. https://www.algaebase.org/search/species/detail/?species_id=11385 (accessed August 27, 2023).
- Hernandez-Carmona, G., McHugh, D.J., Arvizu-Higuera, D.L. and Rodriguez-Montesinos, Y.E., 2002.** Pilot plant scale extraction of alginates from *Macrocystis pyrifera* 4. Conversion of alginic acid to sodium alginate, drying and milling. *Applied Phycology*, 14(6):445–451. <http://doi.org/10.1023/A:1022372807813>
- Kanagesan, K., Abdulla, R., Derman, E., Sabullah, M.K., Govindan, N. and Gansau, J.A., 2022.** A sustainable approach to green algal bioplastics production from brown seaweeds of Sabah, Malaysia. *Journal of King Saud University-Science*, 34:102268. DOI:10.1016/j.jksus.2022.102268.
- Khan, M.A.A., Hasan, M.M., Hossain, M.K., Adhikery, D., Hakim, M. Mohanta, L.C., Sharif, A.S.M., Ashish, A.S.M. and Sarker, A.K., 2024.** Extraction and characteristic properties analyses of sodium alginate derived from the *Sargassum oligocystum* brown seaweed alga of the Bay of Bengal. *Next Materials*, 6:100417. DOI:10.1016/j.nxmate.2024.100417
- Kolahdoozan, M., Mousavi, S.E., Hatamipour, M.S. and Yegdaneh, A., 2024.** Enhancing the antioxidant activity of alginic acid extracted from *Sargassum angustifolium* brown algae based on optimizing the extraction. *Advanced Biomedical Research*, 13:49. DOI:10.4103/abr.abr_491_23.
- Labowska, M.B., Michalak, I. and Detyna, J., 2019.** Methods of extraction, physicochemical properties of alginates and their applications in biomedical field - a review. *Open Chemistry*, 17(1):738–762. DOI:10.1515/chem-2019-0077
- Liu, J., Yang, S., Li, X., Yan, Q., Reaney, M.J.T. and Jiang, Z., 2019.** Alginate oligosaccharides: production, biological activities, and potential applications. *Comprehensive Reviews Food Science and Food Safety*, 18:1859–1881. DOI:10.1111/1541-4337.12494
- Mazumder, A., Holdt, S.L., de Francisci, D., Alvarado-Morales, M., Mishra, H.N. and Angelidaki, I., 2016.** Extraction of alginate from *Sargassum muticum*: Process optimization and study of its functional activities. *Applied Phycology*, 28 (6):3625–3634. DOI:10.1007/s10811-016-0872-x
- Mohammed, A., Bissoon, R., Bajnath, E., Mohammed, K., Lee, T., Bissram, M., John,**

- N., Jalsa, N.K., Lee, K.Y. and Ward, K., 2018.** Multistage extraction and purification of waste *Sargassum natans* to produce sodium alginate: An optimization approach. *Carbohydrate Polymers*, 198:109–118. DOI:10.1016/j.carbpol.2018.06.067.
- Mohammed, A., Rivers, A., Stuckey, D.C. and Ward, K., 2020.** Alginate extraction from *Sargassum* seaweed in the Caribbean region: Optimization using response surface methodology. *Carbohydrate Polymers*, 245:116419. DOI:10.1016/j.carbpol.2020.116419
- Mousavi, S.E., Hatamipour, M.S. and Yegdaneh, A., 2023.** Ultrasound-assisted extraction of alginic acid from *Sargassum angustifolium* harvested from Persian Gulf shores using response surface methodology. *International Journal of Biological Macromolecules*, 226:660-669. DOI: DOI:10.1016/j.ijbiomac.2022.12.070
- Nam, H.B., Lee, K.H., Yoo, H.Y., Park, C., Lim, J.M. and Lee, J.H., 2024.** Rapid and high-yield recovery of sodium alginate from *Undaria pinnatifida* via microwave-assisted extraction. *Processes*, 12:208. DOI:10.3390/pr12010208
- Nesic, A., De Bonis, M.V., Dal Poggetto, G., Ruocco, G. and Santagata, G., 2023.** Microwave assisted extraction of raw alginate as a sustainable and cost-effective method to treat beach-accumulated *Sargassum* algae. *Polymers*, 15:2979. DOI:10.3390/polym15142979
- Nguyen, D.T., Vu, N.B., Nguyen, X.H., Dang, T.T.T., Do, T.K., Nguyen, K.N., Nguyen, T.T., Pham, N.B.H., Pham, T.T. and Dang, X.C., 2021.** The content, antioxidant activity, and structural characteristics of sodium alginate extracting from *Sargassum polycystum* grew in Vietnam: effect of various extraction conditions. *Pharmaceutical Research International*, 33 (41A):197–206. DOI: 10.9734/jpri/2021/v33i41A32318
- Nogueiraa, M.T., Chicaa, L.R., Yamashitaa, C., Nunes, N.T.S., Moraes, I.S.F., Brancoa, C.C.Z. and Brancoa, I.G., 2022.** Optimal conditions for alkaline treatment of alginate extraction from the brown seaweed *Sargassum cymosum* C. Agardh by response surface methodology. *Applied Food Research*, 2:100141. DOI:10.1016/j.afres.2022.100141
- Queiroz, L.P.O., Aroucha, E.M., Santos, F.K.G. and Leite, R.H.L., 2024.** Optimization of alginate extraction conditions from the brown seaweed *Dictyota mertensii* using a central composite design. *Algal Research*, 79:103482. DOI:10.1016/j.algal.2024.103482
- Radulovich, R., Neori, A., Valderrama, D., Reddy, C.R.K., Cronin, H. and Forster, J., 2015.** Farming of seaweeds. Seaweed sustainability; Chapter 3. Elsevier: Amsterdam, The Netherlands, 2015, pp. 27–59.
- Rhein-Knudsen, N., Ale, M.T., Ajalloueian, F. and Meyer, A.S., 2017.** Characterization of alginates from Ghanaian brown seaweeds: *Sargassum* spp. and *Padina* spp. *Food Hydrocoll*, 71:236–244. DOI:10.1016/j.foodhyd.2017.05.016.
- Sakugawa, K., Ikeda, A., Takemura, A. and Ono, H., 2004.** Simplified method for estimation of composition of alginates by FTIR.

- Applied Polymer Science*, 93(3):1372–1377.DOI:10.1002/app.20589
- Sari-Chmayssem, N., Taha, S., Mawlawi, H., Guégan, J.P., Jeftić, J. and Benvegnu, T., 2016.** Extracted and depolymerized alginates from brown algae *Sargassum vulgare* of Lebanese origin: Chemical, rheological, and antioxidant properties. *Journal of Applied Phycology*, 28:1915–1929. DOI: 10.1007/s10811-015-0676-4
- Sugiura, Y., Misumi, S., Yamatani, H., Kusakawa, M., Katsuzaki, H., Hayashi, Y. and Murase, N., 2025.** Three antiallergic meroterpenoids derived from the brown alga *Sargassum macrocarpum*. *Applied Phycology*, 9: (39). 251-259 DOI:10.1007/s10811-025-03476-2
- Tiemi, N.M., Rustici, C.L., Yamashita, C., Sawada, N.N.S., Freitas, M.I.C., Zanini, B.C.C. and Guilherme, B.I., 2022.** Optimal conditions for alkaline treatment of alginate extraction from the brown seaweed *Sargassum cymosum* C. Agardh by response surface methodology. *Applied Food Research*, 2(2):100141. DOI:10.1016/J.AFRES.2022.100141
- Torres, M.R., Sousa, A.P.A., Silva Filho, E.A.T., Melo, D.F., Feitosa, J.P.A., de Paula, R.C.M. and Lima, M.G.S., 2007.** Extraction and physicochemical characterization of *Sargassum vulgare* alginate from Brazil. *Carbohydrate Research*, 342(14):2067–2074. DOI:10.1016/J.CARRES.2007.05.022
- Truus, K., Vaher, M. and Taure, I., 2001.** ALGAL biomass from *fucus vesiculosus* (phaeophyta): Investigation of the mineral and alginate components. *Proceedings of the Estonian Academy of Sciences Chemistry*, 50(2):95–103. DOI:10.3176/chem.2001.2.04
- Vauchel, P., Arhaliass, A., Legrand, J., Kaas, R. and Baron, R., 2008.** Decrease in dynamic viscosity and average molecular weight of alginate from *Laminaria digitata* during alkaline extraction. *Phycology*, 44:515-517. DOI:10.1111/j.1529-8817.2008.00482.x
- Yang, M., Deng, Q., Chen, R., Sun, Y., Zhou, X. and Chen, H., 2025.** Extraction, purification, structural characteristics, and biological activities of seaweed polysaccharides: A Review. *Starch*, 77, 2400029: 1-13. DOI:10.1002/star.202400029
- Yang, Y., Campanella, O.H., Hamaker, B.R. and Zhang, G.G.Z., 2013.** Rheological investigation of alginate chain interactions induced by concentrating calcium cations. *Food Hydrocolloid*, 30(1):26–32. DOI:10.1016/J.Foodhyd.2012.04.006
- Youssouf, L., Lallemand, L., Giraud, P., Soulé, F., Bhaw-Luximon, A., Meilhac, O., D'Hellencourt, C. L., Jhurry, D. and Couprie, J., 2017.** Ultrasound-assisted extraction and structural characterization by NMR of alginates and carrageenans from seaweeds. *Carbohydrate Polymers*, 166:55–63. DOI:10.1016/j. carbpol.2017.01.041